

力学所机构知识库2016年四季度运行情况

力学所机构知识库IMECH-IR (<http://dspace.imech.ac.cn>) 是力学所保存、利用和传播自身产出的知识资产的重要工具与机制。

1 IMECH-IR内容建设情况

目前注册用户1173个，数据15414条，其中全文14071条，具体情况见表1和图1。

表1 IMECH-IR内容类型及其数量

| 期刊论文 | 会议论文 | 学位论文 | 科普文章 | 专利 | 专著/译著/文集 | 成果 | 其他 | 报告(含视频) | 网页 | 图像 | 软件 |
|------|------|------|------|-----|----------|-----|----|---------|----|----|----|
| 9723 | 2843 | 1470 | 570 | 294 | 245 | 133 | 41 | 24 | 19 | 35 | 16 |

2016年四季度IMECH-IR共新增159条数据。新增的主要是期刊论文。

2 2016年IMECH-IR四季度的访问情况

2016年四季度机构知识库累计访问量76.84万次，相对上季度73.76万次的浏览量上升了4.17%；累计下载量6.14万次，与上季度8.26万相比下降了25.73%。从访问来源看，来自国外的访问量占75.42%，下载量占34.88%。国外访问主要来自美国、英国、意大利等。

图1 IR数据分布图

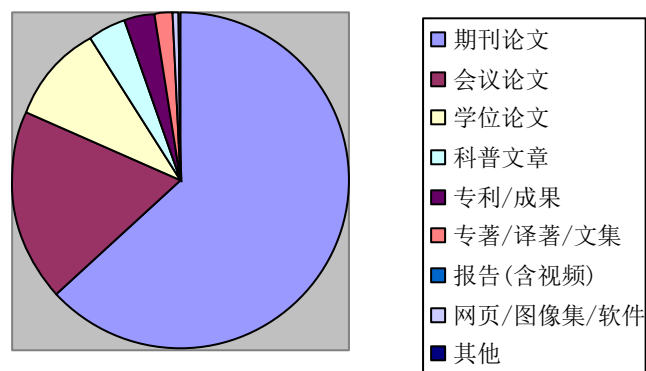


表2 访问量前10的国家和地区

| 累计访问量：768372 累计下载量：61348 | | |
|--------------------------|--------|-------|
| 国家和地区 | 访问 | 下载 |
| 未知国家和地区 | 338718 | 2321 |
| United States | 224384 | 17753 |
| China | 188881 | 39952 |
| United Kingdom | 11073 | 108 |
| Italy | 1191 | 14 |
| France | 870 | 82 |
| Canada | 828 | 689 |
| Germany | 741 | 84 |
| Russian Federation | 507 | 43 |
| Ukraine | 235 | 5 |

期刊论文 “Damage evolution, localization and failure of solids subjected to impact loading” 是这季度浏览访问量和下载量的 Top1，共计访问 582 次、下载 532 次，Top2 的是期刊论文 “坡度和径流量对细沟侵蚀的影响”，浏览次数 510，下载量 Top2 的论文是 “杂质对溶菌酶晶体表面形貌和生长动力学的影响”，下载 209 次。访问次数超过 200 的有 65 篇，下载量在 100 次以上的文章有 7 篇。

表 3 访问量前 10 名的论文列表

| 条目 | 访问 | 下载 |
|--|-----|-----|
| Damage evolution, localization and failure of solids subjected to impact loading | 582 | 532 |
| 坡度和径流量对细沟侵蚀的影响 | 510 | 22 |
| 生物材料微结构及其力学行为的研究和仿生应用(1) | 448 | 0 |
| 月球虹湾局部影像图公布—嫦娥二号工程成功 | 445 | 67 |
| TDLAS 技术在超声速燃烧中的应用 | 383 | 4 |
| 近代连续介质力学 | 382 | 0 |
| 利用可调谐二极管激光吸收光谱诊断超声速流动 | 369 | 2 |
| 全内反射测速技术(TIRV)中界面隐失波基准光强 I_0 的确定 | 357 | 19 |
| 太阳能生物转化及其能源战略发展——2013 年十一月份科普论坛报告会 | 339 | 0 |
| 表面与界面物理力学 | 322 | 0 |

表 4 下载前 10 的文章列表

| 条目 | 下载 | 访问 |
|---|-----|-----|
| Damage evolution, localization and failure of solids subjected to impact loading | 532 | 582 |
| 杂质对溶菌酶晶体表面形貌和生长动力学的影响 | 209 | 304 |
| 热烈祝贺郑哲敏先生荣获 2012 年度最高科学技术奖网页 | 195 | 263 |
| 力学所群组集成知识平台：激光先进制造工艺力学课题组 | 154 | 247 |
| Atomic force microscopy observations of the topography of regenerated silk fibroin aggregations | 137 | 216 |
| Investigation on mechanism of critical cavitating flow in liquid jet pumps under operating limits | 117 | 186 |
| Scaling approach to conical indentation in elastic-plastic solids with work hardening | 116 | 275 |
| (Ga,Mn,As) compounds grown on semi-insulating GaAs with mass-analyzed low energy dual ion beam deposition | 94 | 189 |
| Temperature and composition profile during double-track laser cladding of H13 tool steel | 91 | 164 |
| Effects of volumetric allocation on heave response of semisubmersible in deep sea | 86 | 180 |